

Eksamen i 74142 Fysik 2

Fakultet for lys og miljøteknikk

Mandag 6. desember 1999

### LØSNINGS FORSLAG

Oppgave 1.

$$V(r) = \frac{\rho_0 a^2}{18\epsilon_0} \left( 1 - 3\left(\frac{r}{a}\right)^2 + 2\left(\frac{r}{a}\right)^3 \right) \quad r \leq a$$

$$V(r) = 0 \quad r > a$$

$\rho_0$ : konstant, enhet  $C/m^3$ ,  $a$ :  $m$ .

$$a) \quad \vec{E} = -\nabla V$$

Siden vi har sferisk symmetri er

$$\vec{E} = E_r \hat{e}_r = -\frac{dV}{dr} \hat{e}_r$$

hvor  $\hat{e}_r$  er enhetsvektor i radiell retning.

$$\frac{dV}{dr} = \frac{\rho_0 a^2}{18\epsilon_0} \left( -6\left(\frac{r}{a}\right) \cdot \frac{1}{a} + 6\left(\frac{r}{a}\right)^2 \cdot \frac{1}{a} \right) \quad r \leq a$$

$$\frac{dV}{dr} = 0 \quad r > a$$

$$\vec{E}(r) = \begin{cases} \frac{\rho_0 a}{3\epsilon_0} \left( \frac{r}{a} - \left(\frac{r}{a}\right)^2 \right) \hat{e}_r & r \leq a \\ 0 & \hat{e}_r & r > a \end{cases}$$


---

$|\vec{E}(r)|$  kontinuerlig ved  $r = a$  ?

i)  $r \leq a$ :

$$\lim_{r \rightarrow a^-} |\vec{E}(r)| = \frac{\rho_0 a}{3\epsilon_0} \left( \frac{a}{a} - \left(\frac{a}{a}\right)^2 \right) = 0$$

ii)  $r \geq a$   $\lim_{r \rightarrow a^+} |\vec{E}(r)| = 0$

Feltet er kontinuerlig ved  $r = a$ .

b) Ladningsfordelingen  $\rho(r)$  findes ved å bruke Gauss lov:

$$\oint \vec{E} \cdot d\vec{A} = Q_{\text{inn}} / \epsilon_0$$

Siden vi har sfærisk symmetri velges en sfærisk Gaussflate. Da er  $d\vec{A} = \hat{e}_r \cdot dA$  og venstre side av Gauss lov blir:

$$\oint \vec{E} \cdot d\vec{A} = E_r \iint \hat{e}_r \hat{e}_r dA = E_r \cdot 4\pi r^2$$

Dette er gyldig for alle  $r$ .

Høyre side av Gauss lov:

i) for  $r \leq a$ :

$$Q_{\text{inn}} / \epsilon_0 = \frac{1}{\epsilon_0} \iiint \rho(r) dV = \frac{1}{\epsilon_0} \int_{r=0}^r \rho(r) 4\pi r^2 dr$$

Insett med  $E_r$  for  $r \leq a$  for venstre side av Gauss lov gir:

$$\frac{\rho_0 a^2}{3\epsilon_0} \left( \frac{r}{a} - \left(\frac{r}{a}\right)^2 \right) \cdot 4\pi r^2 = \frac{1}{\epsilon_0} \int_{r=0}^r \rho(r) 4\pi r^2 dr$$

Deriver begge sider mht.  $r$ :

$$\frac{4\pi a^2 \rho_0}{3\epsilon_0} \left( \frac{1}{4} \frac{r^2}{a} - \frac{1}{3} \frac{r^3}{a^2} \right) = \frac{1}{\epsilon_0} \rho(r) \cdot 4\pi r^2$$

$$\rho(r) = \frac{\rho_0 a^2}{3} \left( \frac{1}{4} \frac{1}{a} - \frac{1}{3} \frac{r}{a^2} \right) = \frac{\rho_0}{12} \left( 1 - \frac{4}{3} \frac{r}{a} \right)$$

For  $r > a$  er  $E_r = 0$  og  $\rho(r) = 0$

$$\rho(r) = \begin{cases} \frac{\rho_0}{12} \left( 1 - \frac{4}{3} \frac{r}{a} \right) & r \leq a \\ 0 & r > a \end{cases}$$

c) Nettoladning:  $r \leq a$ :

$$\int_{r=0}^a \rho(r) \cdot 4\pi r^2 dr = \left. \frac{\rho_0 a^2}{3} \left( \frac{r}{a} - \left(\frac{r}{a}\right)^2 \right) \cdot 4\pi r^2 \right|_0^a = 0$$

Siden  $\vec{E} = 0$  for  $r > a$ , og  $Q_{\text{inn}}(r=a) = 0$  med nettoladning for området  $0 \rightarrow r$ ,  $r > a$  var null. Da  $0 \rightarrow a$  inneholder 0 nettoladning, må også  $a \rightarrow r$  inneholde 0 nettoladning. I sammen med beregnet  $\vec{E}$

$$\cos \theta_1 = \frac{r_2}{r_1}, \quad \cos \theta_3 = \frac{r_3}{r_1}; \quad \text{da } r_2 = r_3 \text{ pga symmetri}$$

$$\vec{H}_{\text{tot}} = \frac{I}{2\pi r_2} \left( 1 + \frac{r_2}{r_1} \cdot \cos \theta_1 + \frac{r_3}{r_1} \cdot \cos \theta_3 \right) = \frac{I}{2\pi r_2} \left( 1 + 2 \frac{r_2}{r_1} \right)$$

Numerisk: (for  $r_2 = 8 \text{ cm}$ , ledet:  $r_1 = 5 \text{ cm}$ ).

$$\vec{H}_{\text{tot}}(r_2 = 8 \text{ cm}) = \frac{5 \text{ A}}{2\pi \cdot 0.08 \text{ m}} \left( 1 + 2 \cdot \frac{8^2}{8^2 + 10^2} \right) \vec{i} = 17.7 \frac{\text{A}}{\text{m}} \vec{i}$$

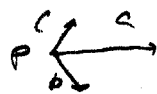
$$\vec{H}_{\text{tot}}(r_2 = 5 \text{ cm}) = \frac{5 \text{ A}}{2\pi \cdot 0.05 \text{ m}} \left( 1 + 2 \frac{5^2}{5^2 + 10^2} \right) \vec{i} = 22.3 \frac{\text{A}}{\text{m}} \vec{i}$$

Utkyft ved  $B = \mu_0 H$ :

$$\vec{B}(r_2 = 8 \text{ cm}) = 2.23 \cdot 10^{-5} \vec{T} \vec{i}$$

$$\vec{B}(r_2 = 5 \text{ cm}) = 2.80 \cdot 10^{-5} \vec{T} \vec{i}$$

b) Strømløse plan:

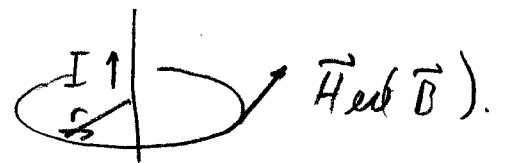


Bidrag til magnetisk feltstyrke i pkt p: for leder plassert under normalen:  $\vec{H} \parallel$  planet.

for leder b: gir  $\vec{sH}$  komponent  $\perp$  planet, men vi kan finne en leder (c i eksempel) som gir et like stort, motsatt rettet bidrag ved  $\vec{H}_{\text{tot}}$ ,  $\perp$  på planet. Dette gjelder for vilkårlig valg av  $\odot$  leder. Dette betyr at det er ingen

## Opgave 2

a) Amperes lovt for en leder



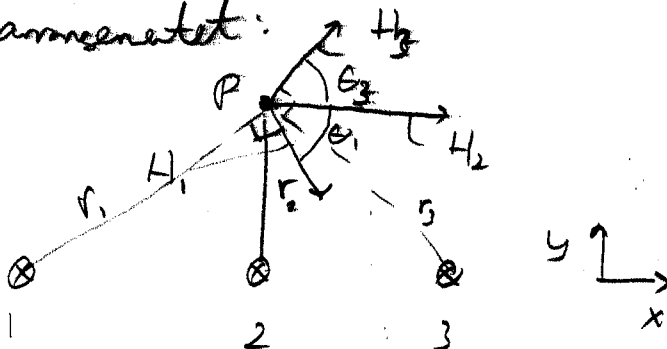
$$\oint \vec{H} \cdot d\vec{l} = I_{\text{innvendt}}; \quad \vec{H} = H \vec{e}_\theta$$

Anvendt: vælger integrationssti som en koncentrisk cirkel om ledere. Da er  $\vec{H} \parallel d\vec{l} \Rightarrow \vec{H} \cdot d\vec{l} = H dl$

$$\oint \vec{H} \cdot d\vec{l} = H \oint dl = H \int_0^{2\pi} r d\theta = 2\pi r H = I_{\text{innvendt}}$$

$$\vec{H} = \frac{I_{\text{innvendt}}}{2\pi r} \vec{e}_\theta$$

For arrangementet:



Nummer lederne 1, 2, og 3.  $H_1$ ,  $H_2$ , og  $H_3$  er magnetfeltet i P sæt op av disse tre ledere ( $H_1$  for 1, osv)

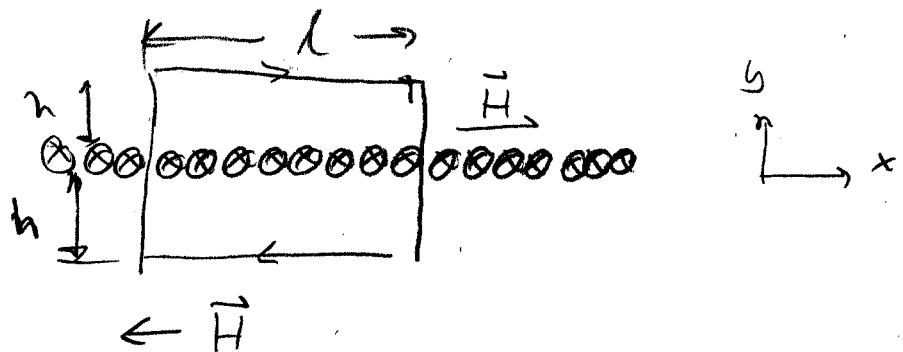
Vertikale komponenter av  $H_1$  og  $H_3$  er lige store og modsatte rettet. Disse kansellerer. Ser på horisontale komponenter:

$$\vec{H}_{\text{tot}} = \vec{H}_2 + |\vec{H}_1| \cos \theta_1 \vec{i} + |\vec{H}_3| \cos \theta_3 \vec{i}$$

$$= \left( \frac{I}{2\pi r_2} + \frac{I}{2\pi r_1} \cos \theta_1 + \frac{I}{2\pi r_3} \cos \theta_3 \right) \vec{i}$$

rotasjonskomponent av  $\vec{H} \perp$  planet. Bruk av Amperes lov  
 (se under) viser at  $\vec{H}$  er uavhengig av avstand  
 $\Rightarrow$  dvs. magnetfeltet er homogent.

Bruk Amperes lov for å bestemme  $\vec{H}$ :



Velg integrasjonsvei som et rektangel med sider som er enten  $\perp$   
 eller  $\parallel$  strømspendende leder.

Amperes lov:

$$\oint \vec{H} \cdot d\vec{l} = \int_{\text{2. sidebake}} \vec{H} \cdot d\vec{l} + \int_{\text{2. langsider}} \vec{H} \cdot d\vec{l} = 2 \cdot l H = n_i l$$

hvor  $n_i$  er antall ledninger pr lengdeenhet,  $n_i = 500 \text{ m}^{-1}$   
 $n_i \cdot l$ : antall ledere i lengden  $l$ .

Dette gir:  $\vec{H} = \frac{n_i \cdot I}{2} \vec{e} = \frac{500}{2} \cdot \text{ms}^{-1} \cdot 5 \text{ A} = 1.25 \cdot 10^3 \text{ A/m} \vec{e}$

$\vec{H}$  er motsatt rettet for  $y < 0$ :

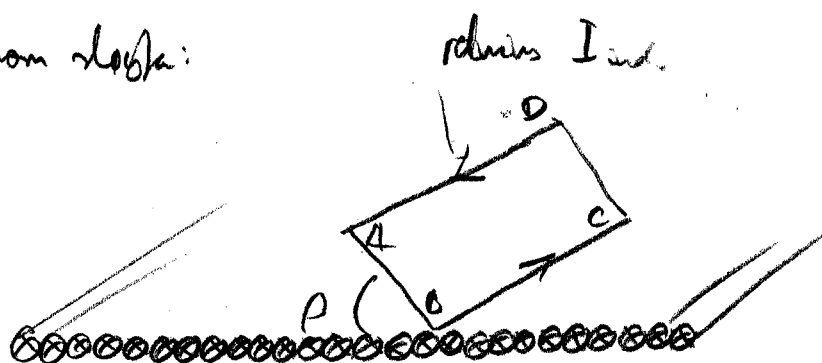
$$\vec{H} = \begin{cases} 1.25 \cdot 10^3 \text{ A/m} \vec{e} & y > 0 \\ -1.25 \cdot 10^3 \text{ A/m} \vec{e} & y < 0 \end{cases}$$

(  $1.57 \cdot 10^{-3} \text{ Tesla}$  )

Siden  $\vec{H}$  ikke er avhengig av  $h$ , er dette også magnetfeltet i en avstand  $5\text{ cm}$  over platen:

$$\underline{\underline{\vec{H}(h=5\text{ cm}) = 125 \text{ A/m } \vec{e}}}$$

c) Fluks gjennom løyke:



Fluks gjennom løyke:

$$\Phi_b = \iint \vec{B} \cdot d\vec{A} = \mu_0 \iint \vec{H} \cdot d\vec{A} = \mu_0 \iint H \cdot dA \cos\left(\frac{\pi}{2} - \beta\right)$$

Siden  $H$  er uavhengig av  $h$ , kan vi sette  $H$  på trossen av integrasjonstegnet:

$$\Phi_b = \mu_0 H \cdot \cos\left(\frac{\pi}{2} - \beta\right) \cdot \iint dA = \mu_0 H \cdot \cos\left(\frac{\pi}{2} - \beta\right) \cdot A$$

hvor  $A$  er arealet  $= a \cdot b = 0,2 \text{ m} \cdot 0,1 \text{ m} = 0,02 \text{ m}^2$

Nå er  $I = I_0(1 - \alpha t)$ ,  $I_0 = 10 \text{ A}$ :

$$\Phi_b = \mu_0 \frac{n_L}{2} \cdot I_0 (1 - \alpha t) \cdot \sin \beta \cdot A$$

Indusert elektromotorisk kraft:

$$\mathcal{E} = - \frac{d\Phi_b}{dt} = \alpha \mu_0 \frac{n_L}{2} \cdot I_0 \cdot \sin \beta \cdot A$$

$\mathcal{E}$  eller om en strøm  $I_{ind}$ :

$$I_{ind} = \frac{\mathcal{E}}{R} = \alpha \frac{\mu_0}{2R} n_L \cdot I_0 \cdot \sin \beta \cdot A$$

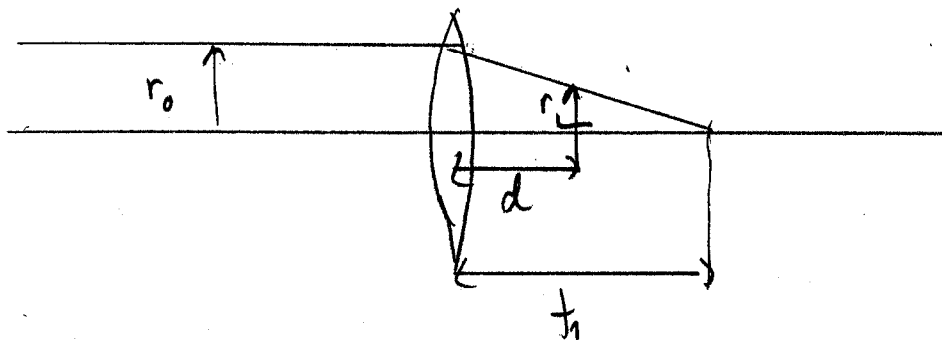
med etning som angitt på fig (mot klokke) i løse  
Leng  $\rightarrow$  lov.

Finer  $\alpha$ :

$$\begin{aligned} \alpha &= \frac{2 I_{ind} \cdot R}{\mu_0 n_L \cdot I_0 \cdot \sin \beta \cdot A} \\ &= \frac{2 \cdot 0.2 \cdot 10^{-3} \text{ A} \cdot 2 \Omega}{4\pi \cdot 10^7 \text{ A m}^{-1} \cdot 500 \text{ m}^{-1} \cdot 10 \text{ A} \cdot \sin 30 \cdot 0.02 \text{ m}^2} \\ &= \underline{\underline{12.7 \text{ s}^{-1}}} \end{aligned}$$

Oppgave 3.

Ved innfallende parallell strålebunt kom mot de konvergerende  
linser:



Treffet i  $f_1$ .

Geometri:

$$\frac{r_1}{f_1 - d} = \frac{r_0}{f_1} \quad ; \quad \Rightarrow \quad \underline{\underline{r_1 = \frac{r_0}{f_1} (f_1 - d)}} \quad \text{g. ed}$$



Ved avbildning i konvergerende linse:

$$\frac{1}{u_1} + \frac{1}{v_1} = \frac{1}{f_1}$$

$$u_1 \rightarrow \infty \Rightarrow v_1 = f_1$$

Objekt for avbildning i divergerende linse har nå en objektavstand

$$u_2 = -(v_1 - d)$$

(resultatet er så tegnkonvensjon)

Får da

$$\frac{1}{u_2} + \frac{1}{v_2} = -\frac{1}{|f_2|}$$

$$\frac{1}{v_2} = -\frac{1}{|f_2|} - \frac{1}{u_2} = -\frac{1}{|f_2|} + \frac{1}{f_1 - d}$$

$$v_2 = \frac{1}{\frac{1}{f_1 - d} - \frac{1}{|f_2|}} = \frac{|f_2| (f_1 - d)}{|f_2| - f_1 + d}$$

g. e. d.

b) Fra figuren i oppgave teksten og i henhold til definisjon av  $f_{eff}$ :

$$\frac{f_{eff}}{r_0} = \frac{v_2}{r_1}$$

$$\underline{f_{eff}} = \frac{r_0}{r_1} \cdot v_2 = \frac{f_1}{f_1 - d} \cdot \frac{|f_2| (f_1 - d)}{|f_2| - f_1 + d} = \underline{\underline{\frac{f_1 |f_2|}{|f_2| - f_1 + d}}}$$

Numerik:

$$f_1 = 10 \text{ cm}, \quad f_2 = -15 \text{ cm}$$

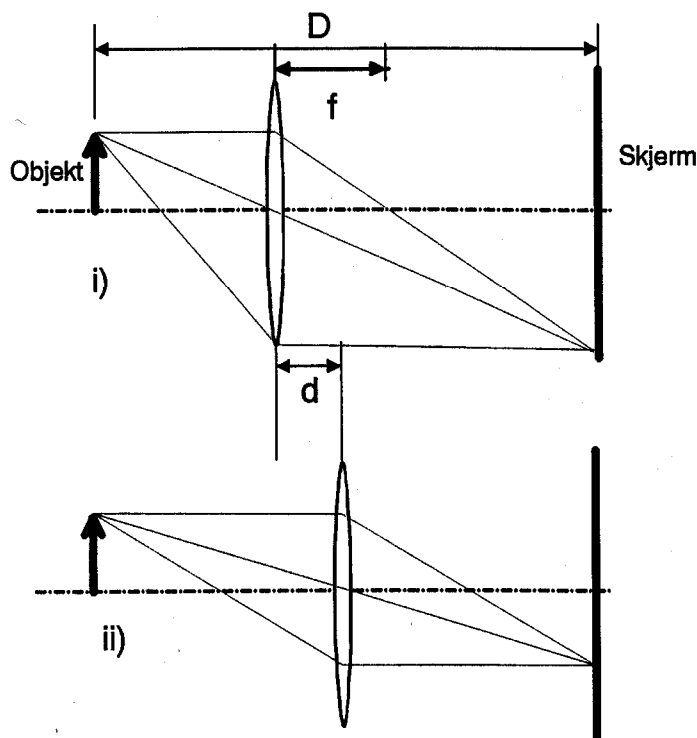
$d$  fra 0 til 7 cm.

Maks  $f_{\text{eff}}$  ved min  $d$ :

$$f_{\text{eff}}(d=0) = \frac{15 \cdot 10 \text{ cm}}{15 - 10} = \underline{\underline{30 \text{ cm}}}$$

Min  $f_{\text{eff}}$  ved maks  $d$ :

$$f_{\text{eff}}(d=7 \text{ cm}) = \frac{15 \cdot 10}{15 - 10 + 7} \text{ cm} = \underline{\underline{12.5 \text{ cm}}}$$



c) Situasjonen er som følger (det er ikke krav til figur ved besvarelse, men det er illustrerende): To posisjonene for en konvergerende linse som gir reelle bilder på observasjons-skjermen er vist i figuren til venstre. Med objektavstand  $u$  og bildeavstand  $v$ , gjelder for avbildningen:

$$\frac{1}{u} + \frac{1}{v} = \frac{1}{f}$$

På grunn av at summen av objekt og bildeavstand er gitt ved  $D$ :

$$u + v = D$$

får vi en lign. med 1 ukjent (her kan det velges  $u$  eller  $v$ ):

$$\frac{1}{u} + \frac{1}{D-u} = \frac{1}{f}$$

Omarbeidet:

$$f \cdot (D - u + u) = (D - u) \cdot u$$

som gir 2. gradslikning i  $u$ :

$$u^2 - D \cdot u + f \cdot D = 0$$

Denne har løsningen:

$$u = \frac{D}{2} \pm \frac{1}{2} \sqrt{D^2 - 4Df}$$

Dvs., vi har to objektavstander:

$$u_1 = \frac{D}{2} + \frac{1}{2} \sqrt{D^2 - 4Df} \text{ og } u_2 = \frac{D}{2} - \frac{1}{2} \sqrt{D^2 - 4Df}$$

Avstanden  $d$  mellom linsen for disse to plasseringene av linsa er:

$$d = u_1 - u_2 = \left( \frac{D}{2} + \frac{1}{2} \sqrt{D(D-4f)} \right) - \left( \frac{D}{2} - \frac{1}{2} \sqrt{D(D-4f)} \right) = \sqrt{D(D-4f)} \quad \text{q.e.d.}$$

Forstørrelsen, er gitt ved:

$$\frac{y_{\text{bilde}}}{y_{\text{objekt}}} = \frac{v}{u}$$

Forholdet mellom størrelsene på bildene ved de to plasseringene av linsa er gitt ved:

$$\frac{y_{\text{bilde},1}}{y_{\text{bilde},2}} = \frac{y_{\text{bilde},1} / y_{\text{objekt}}}{y_{\text{bilde},2} / y_{\text{objekt}}} = \left( \frac{v_1}{u_1} \right) \left( \frac{u_2}{v_2} \right)$$

Objektavstandene er gitt over, og de respektive bildeavstandene finnes ved:

$$v_1 = D - u_1 = \frac{D}{2} - \frac{1}{2} \sqrt{D^2 - 4Df} \text{ og } v_2 = D - u_2 = \frac{D}{2} + \frac{1}{2} \sqrt{D^2 - 4Df}$$

Forholdet mellom størrelsene på bildene blir da:

$$\frac{y_{\text{bilde},1}}{y_{\text{bilde},2}} = \left( \frac{v_1}{u_1} \right) \left( \frac{u_2}{v_2} \right) = \left( \frac{D - \sqrt{D^2 - 4Df}}{D + \sqrt{D^2 - 4Df}} \right) \cdot \left( \frac{D - \sqrt{D^2 - 4Df}}{D + \sqrt{D^2 - 4Df}} \right) = \underline{\underline{\left( \frac{D-d}{D+d} \right)^2}}$$